

FIG. 1

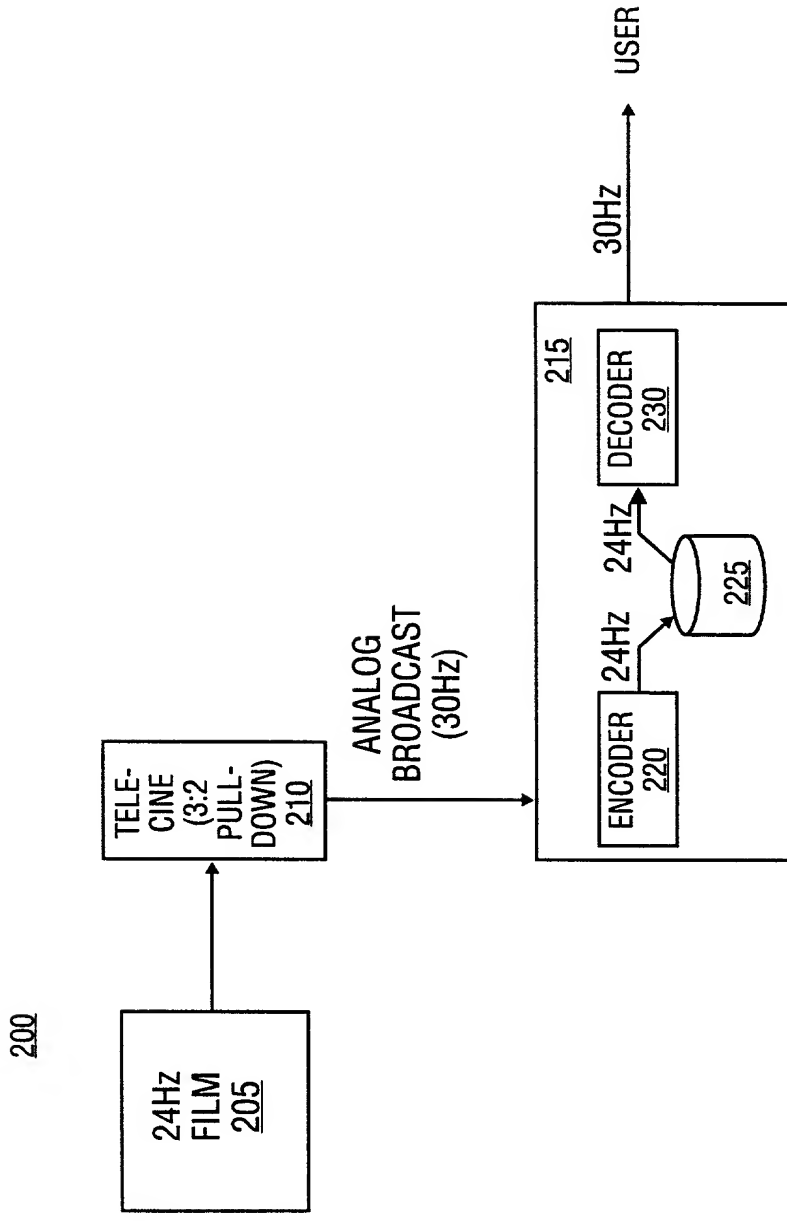


FIG. 2

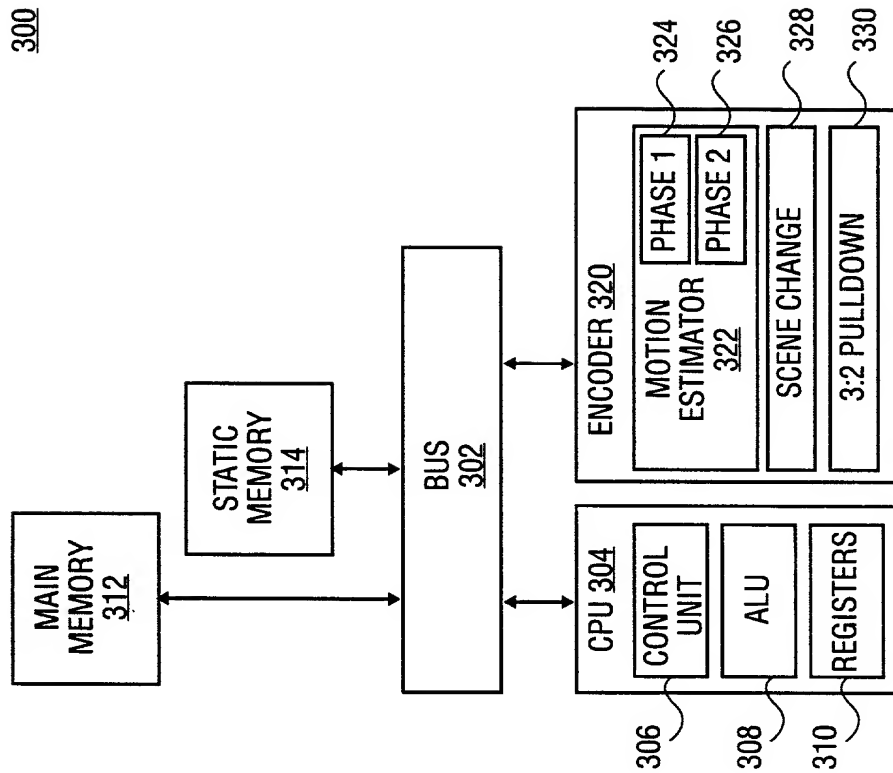


FIG. 3A

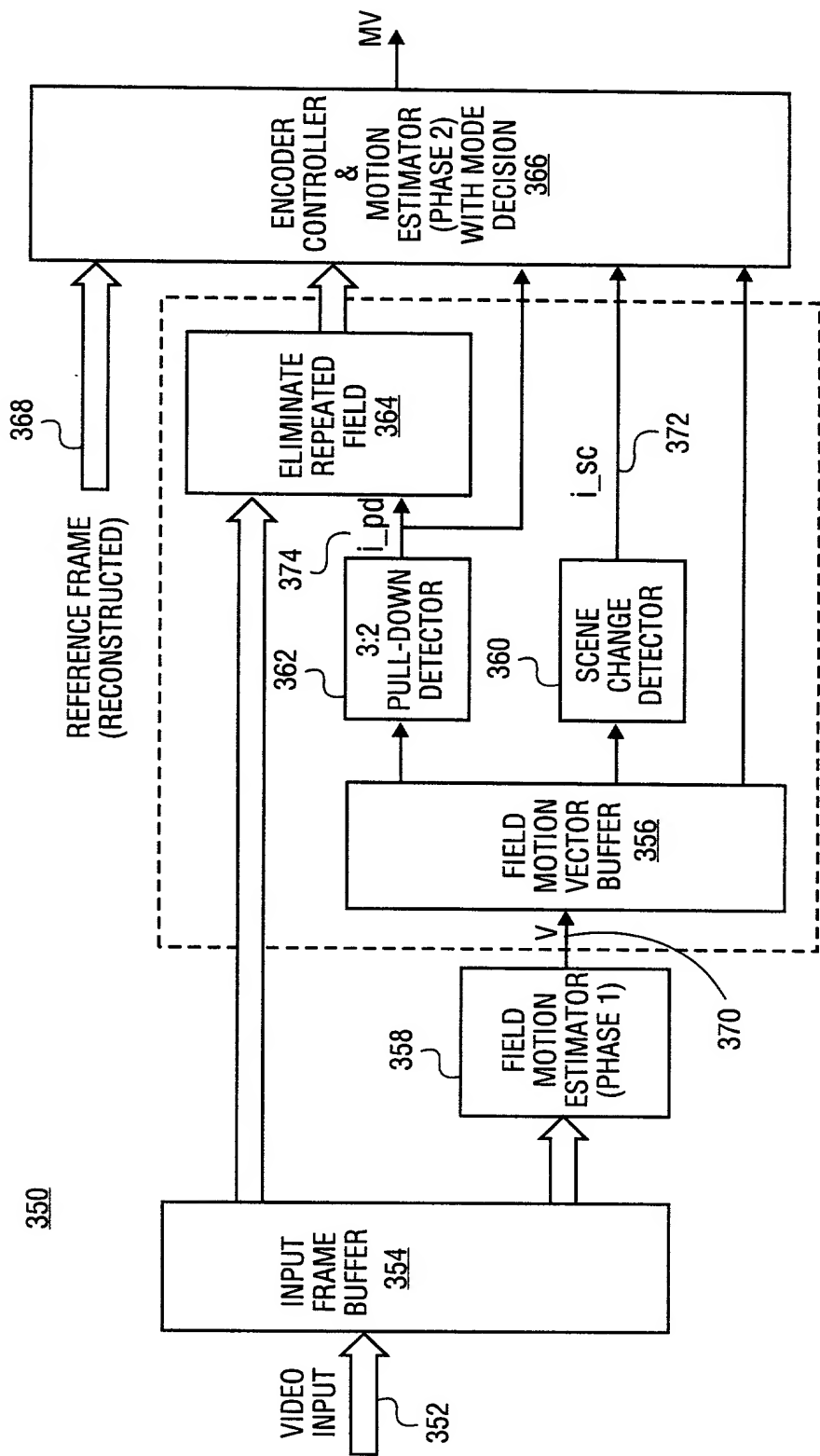
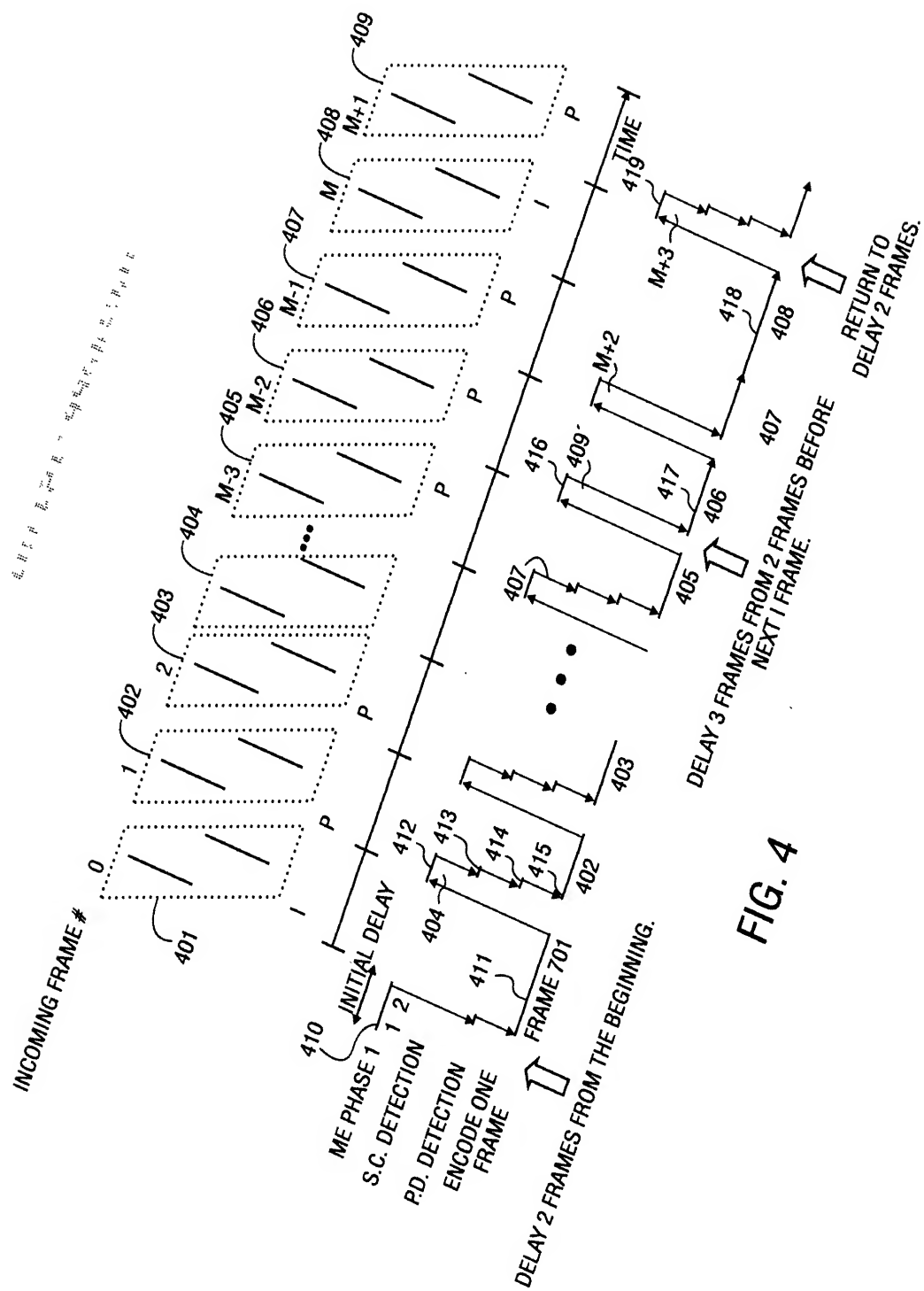
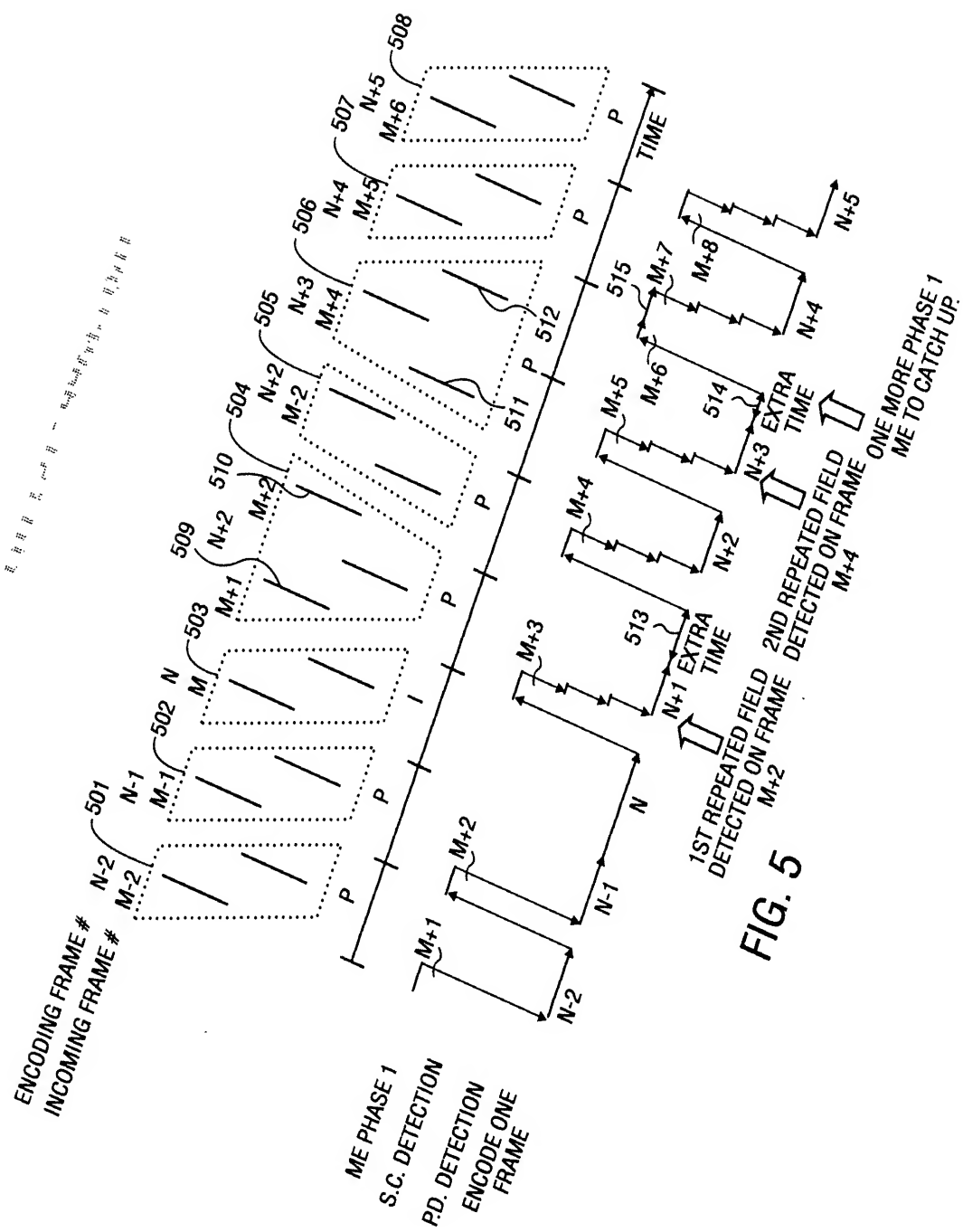
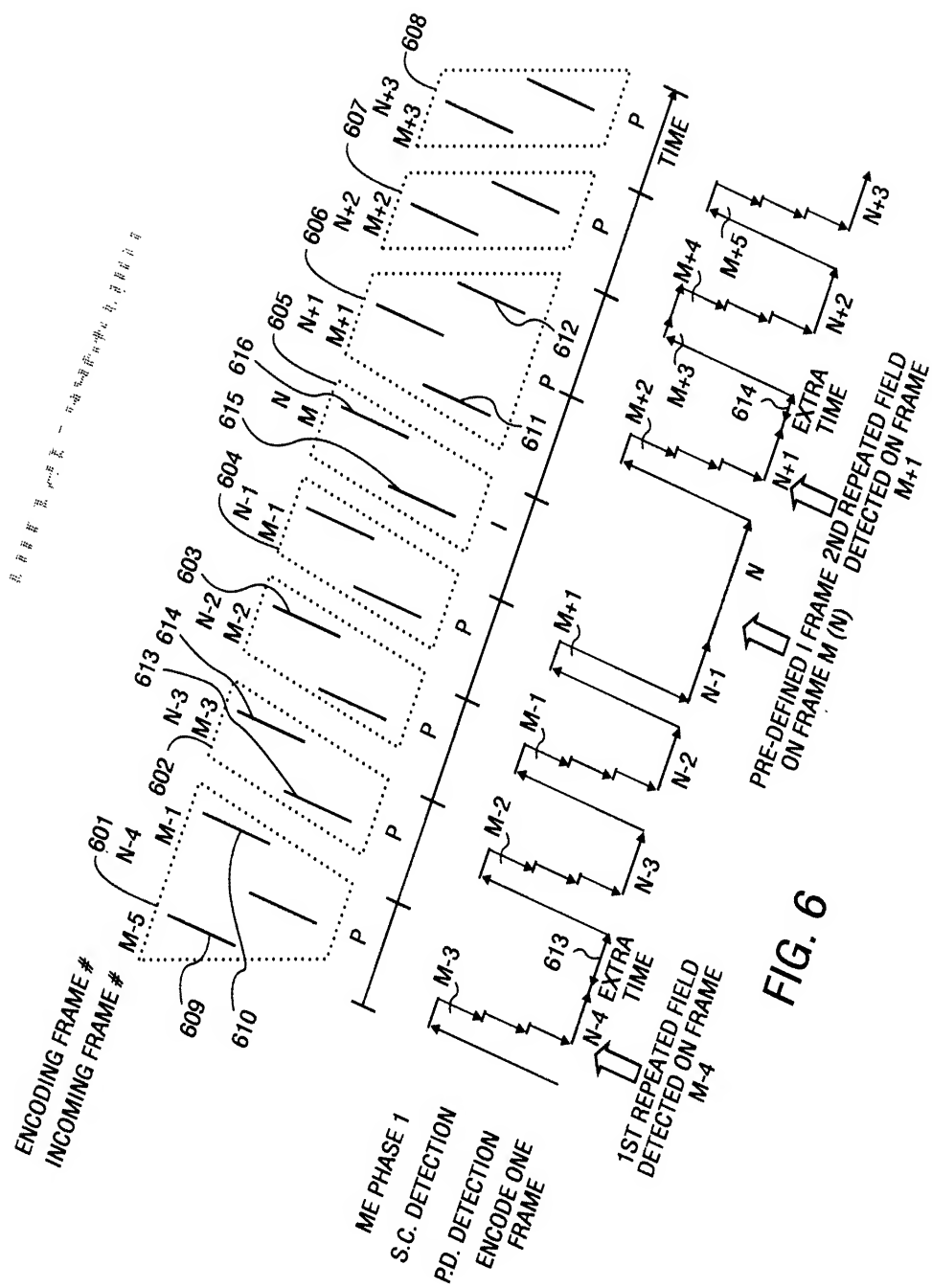
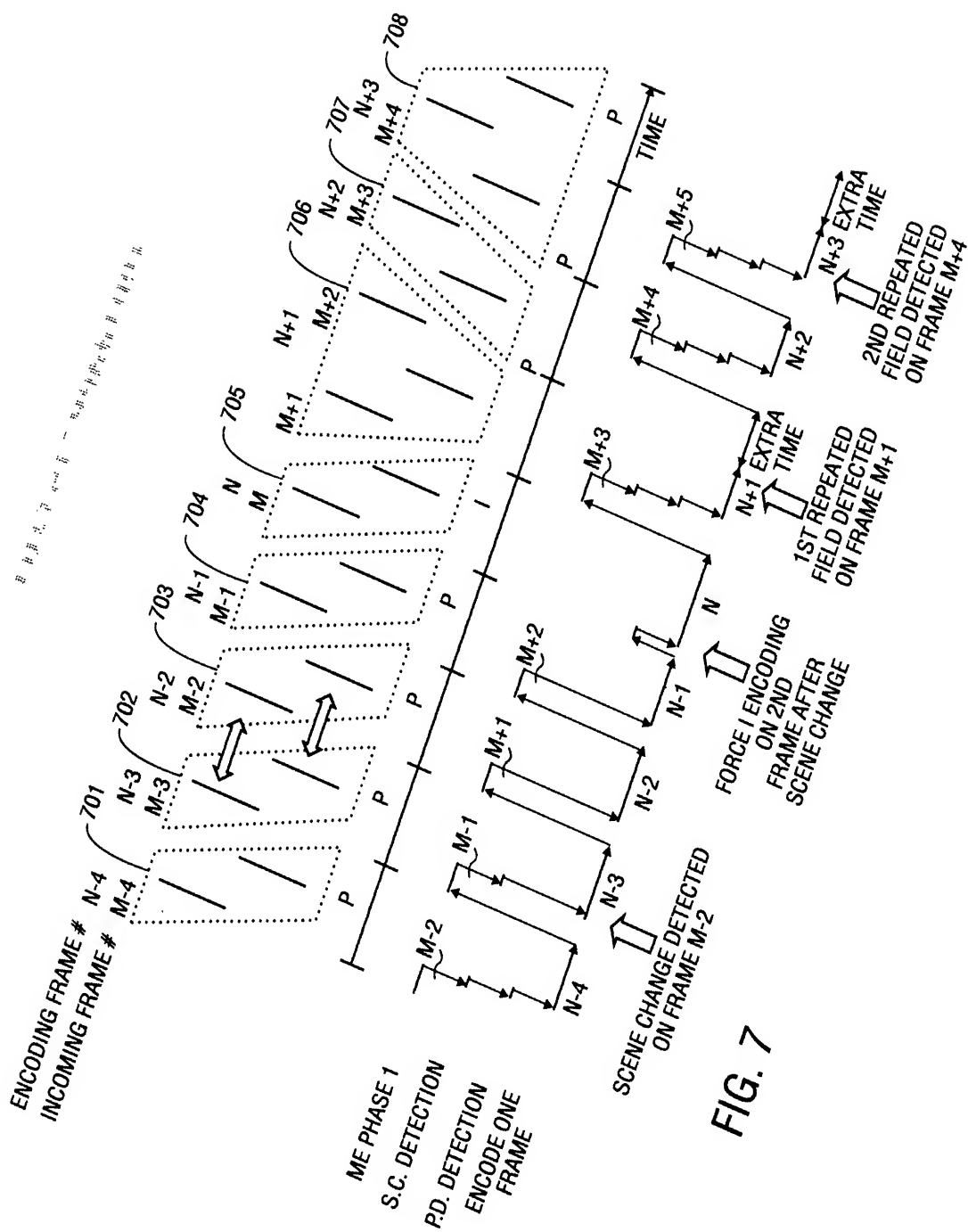


FIG. 3B













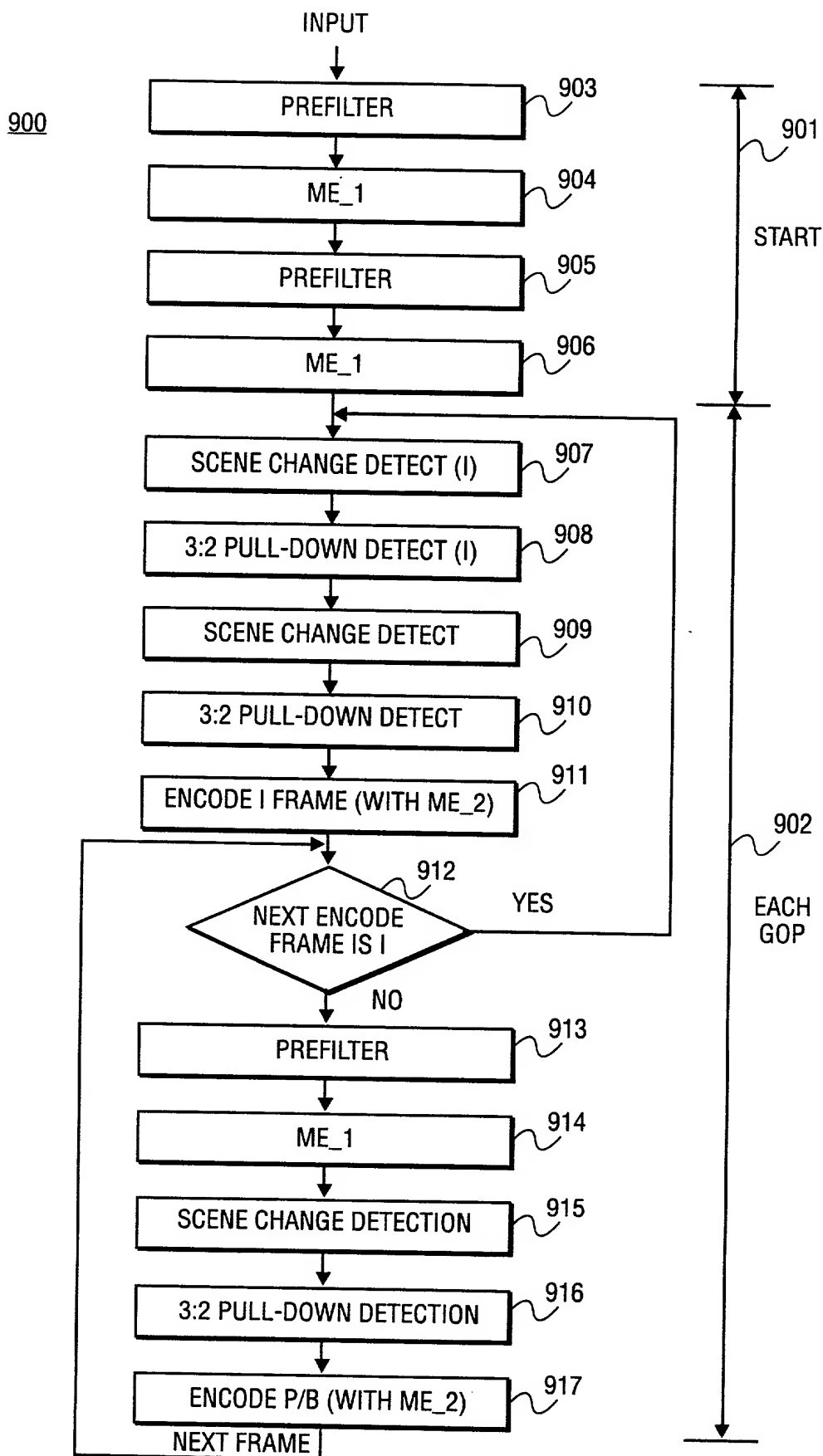


FIG. 9

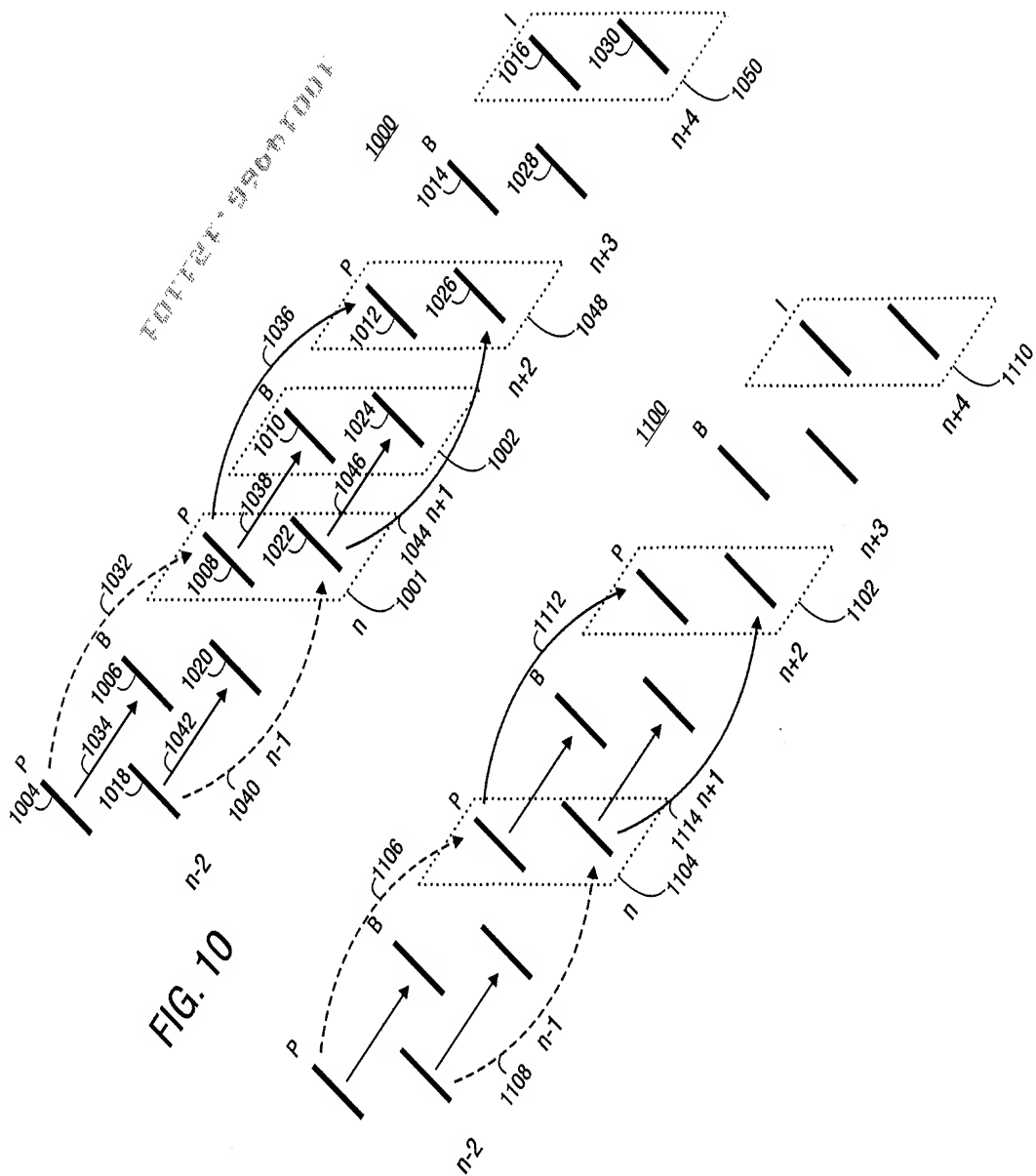


FIG. 10

FIG. 11

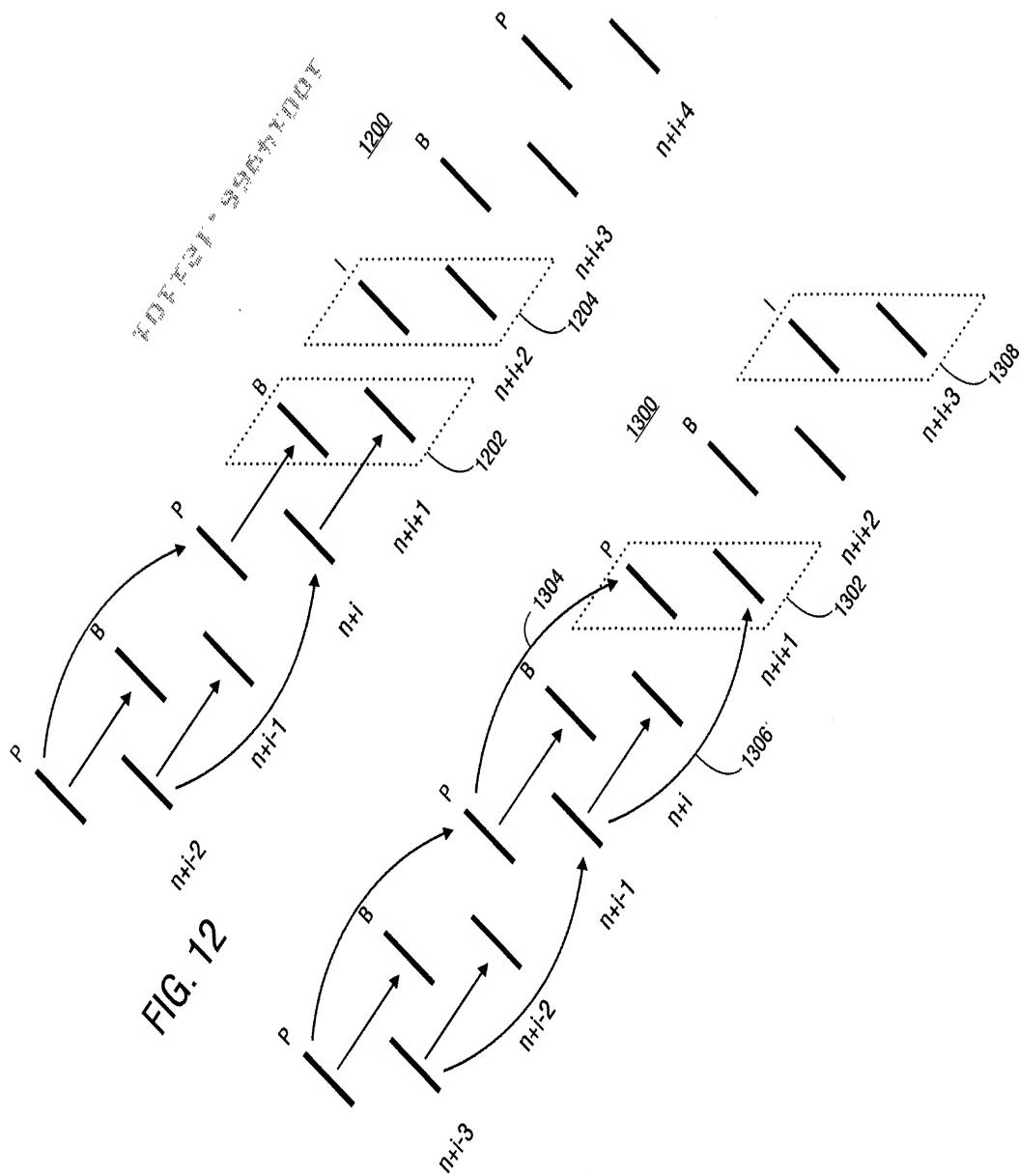


FIG. 12

FIG. 13

FIG. 15

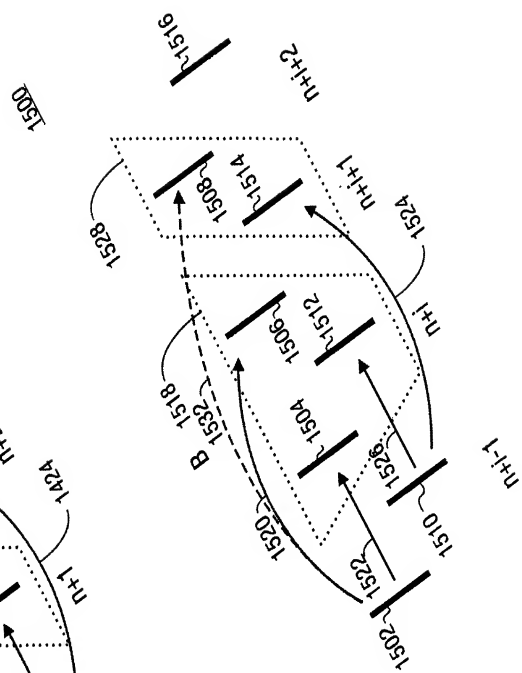
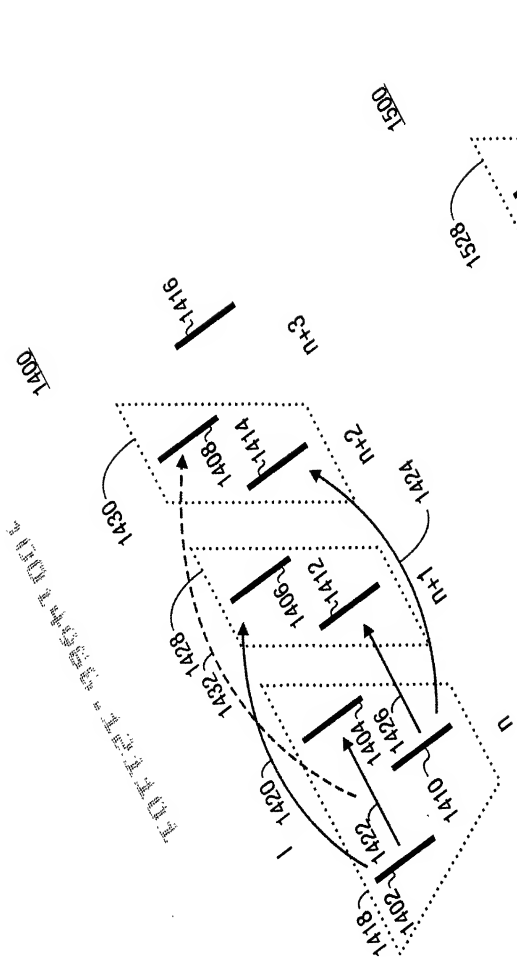


FIG. 14



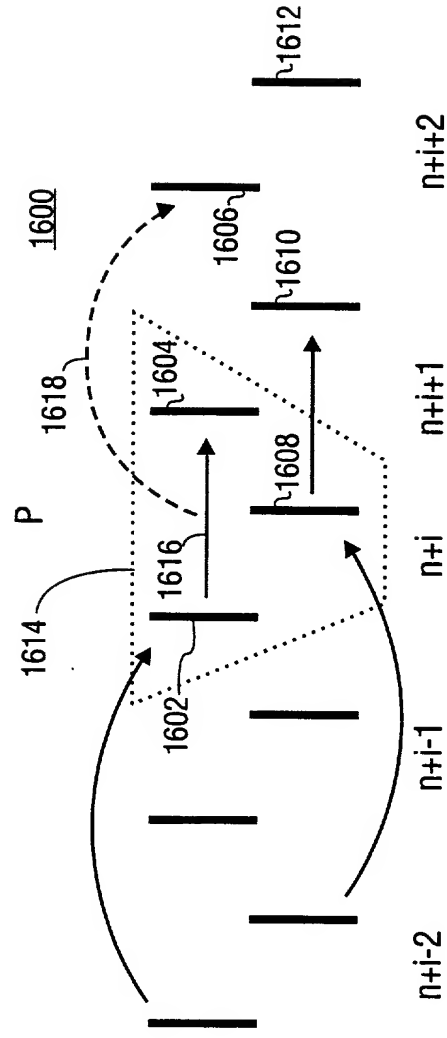
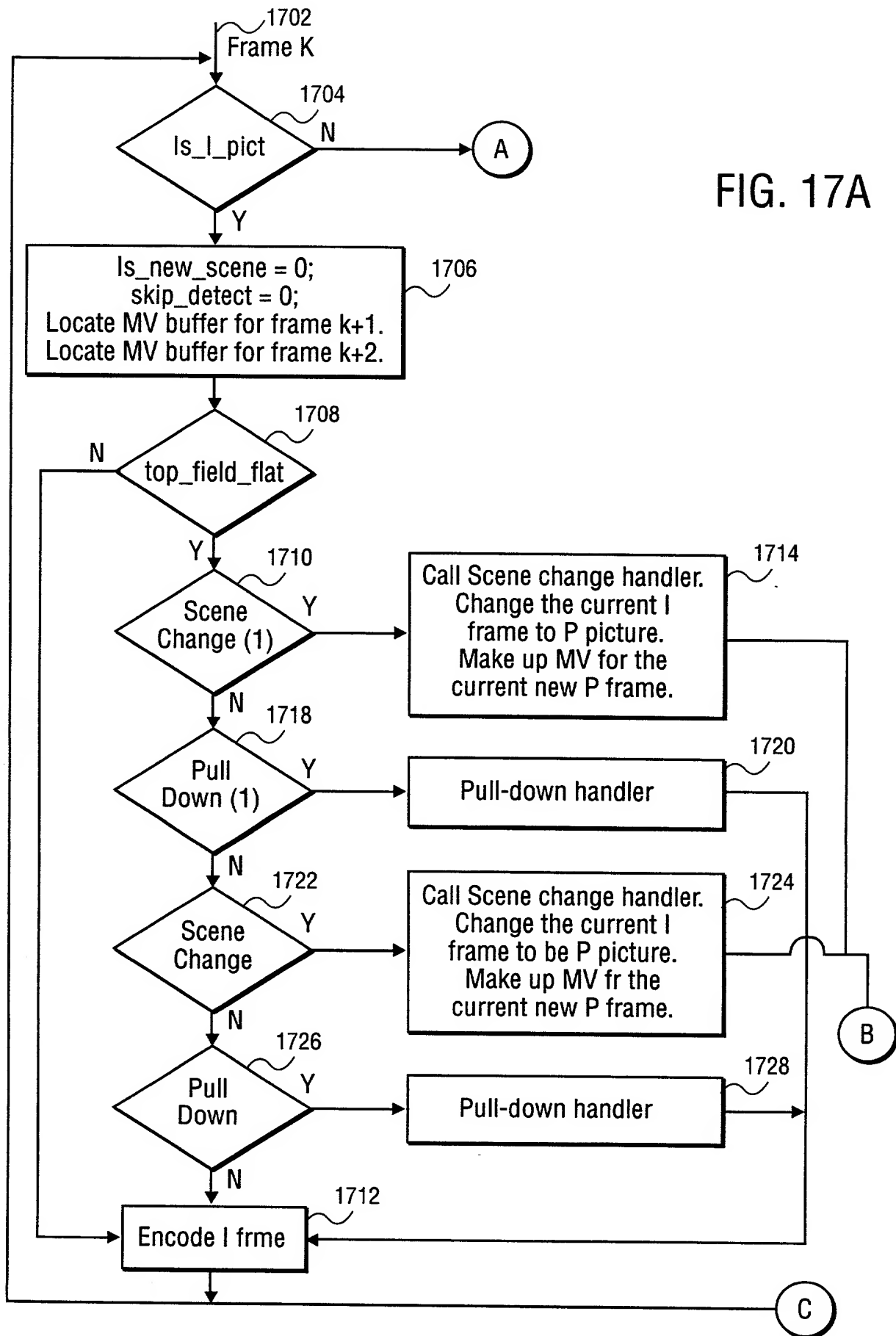


FIG. 16



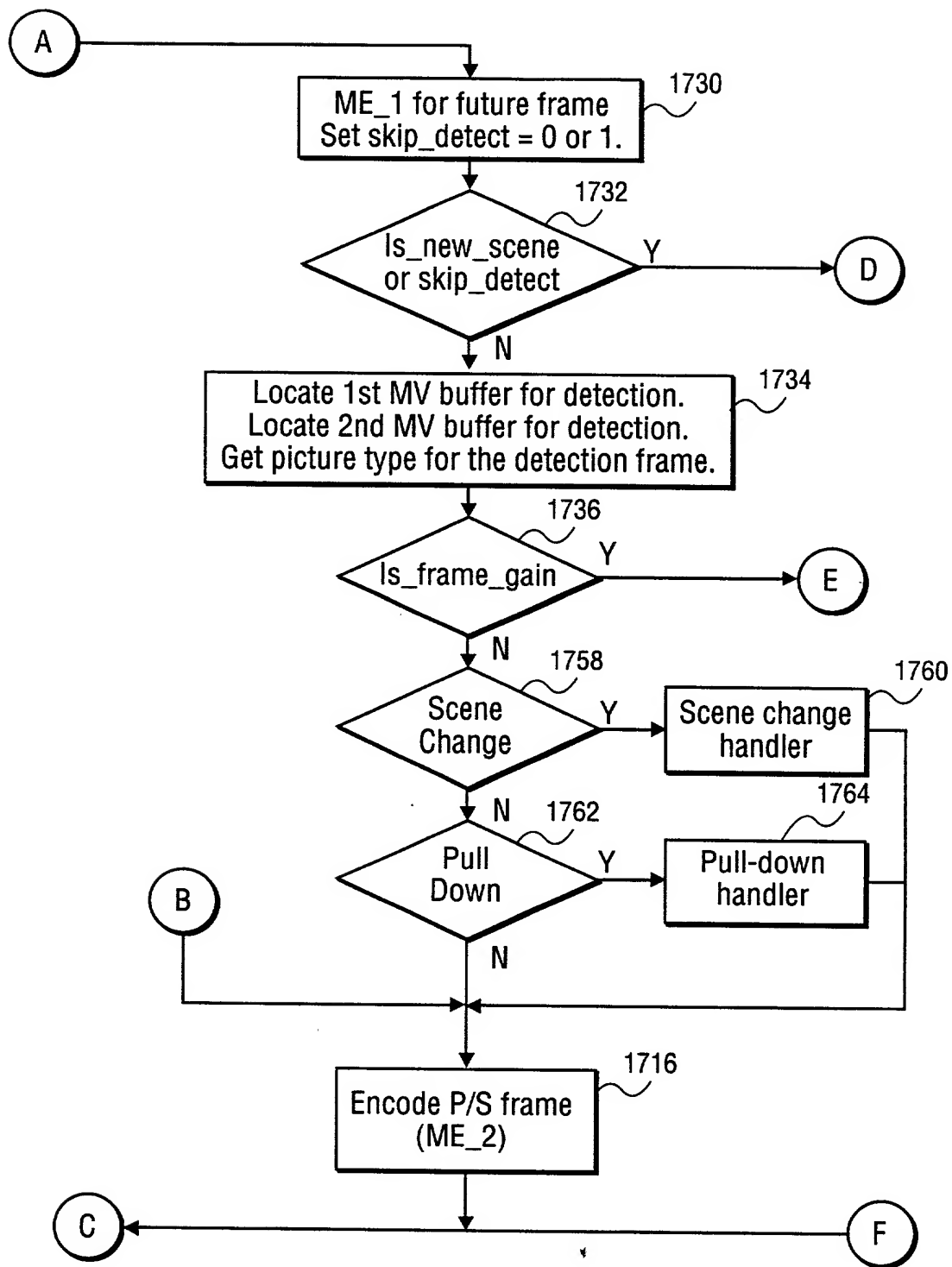


FIG. 17B



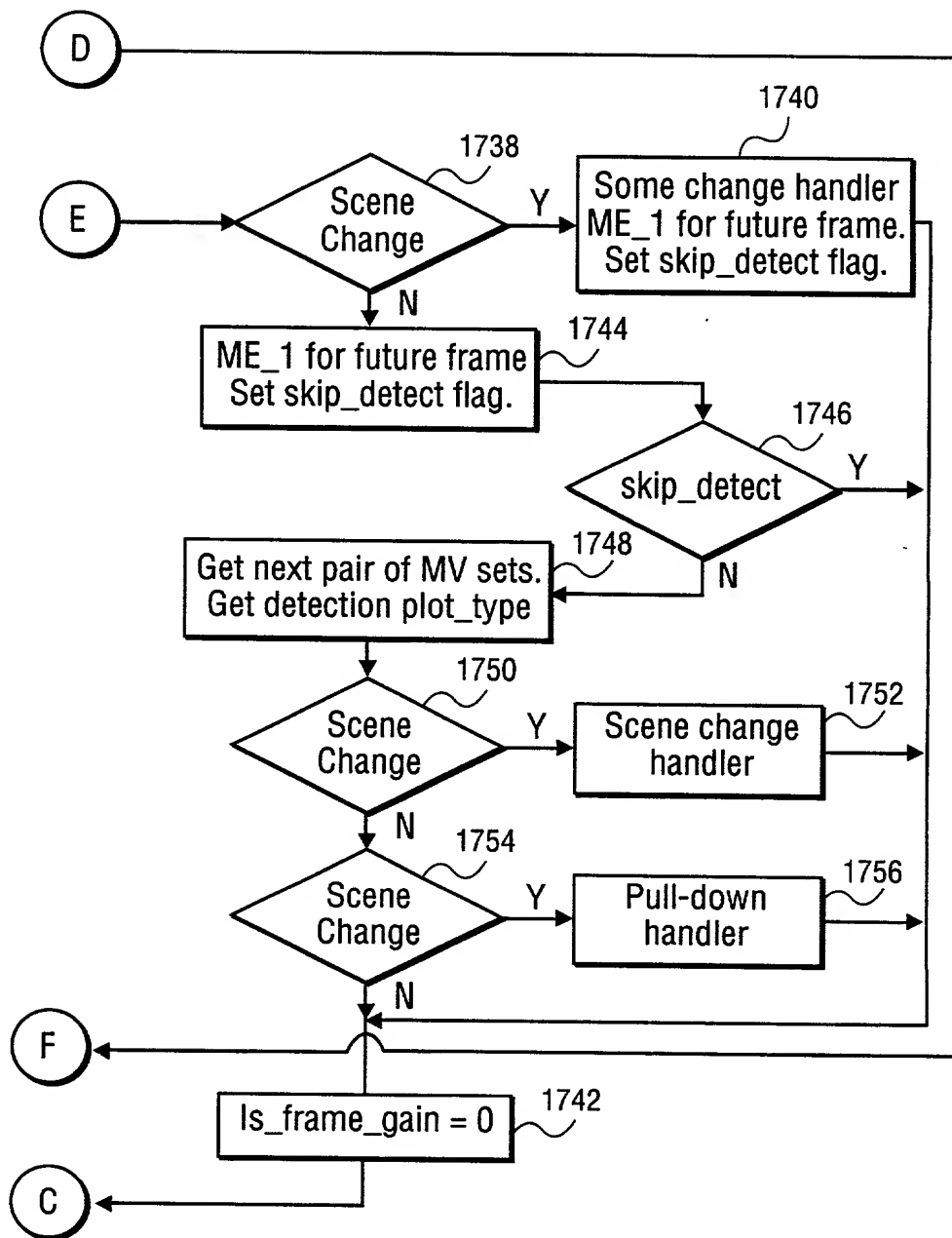


FIG. 17C

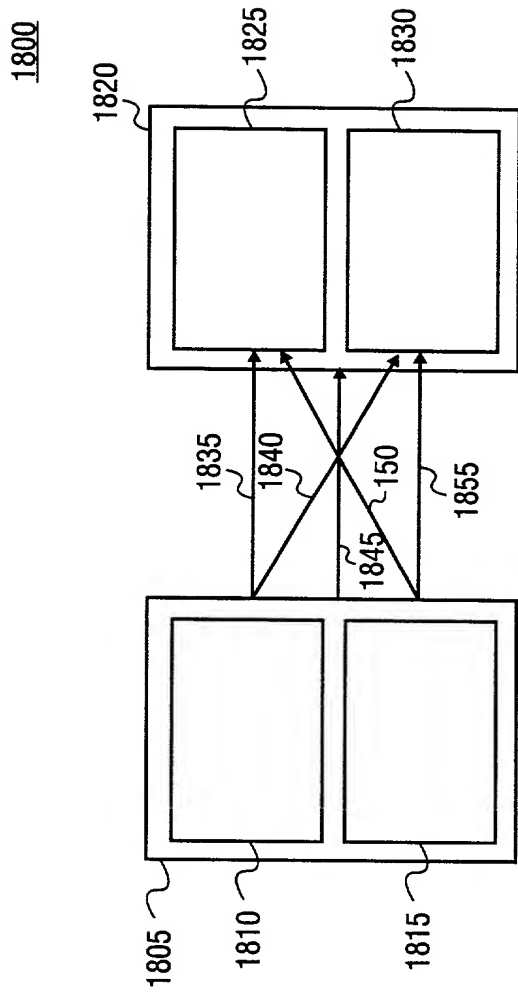


FIG. 18A

Top-field First

1860

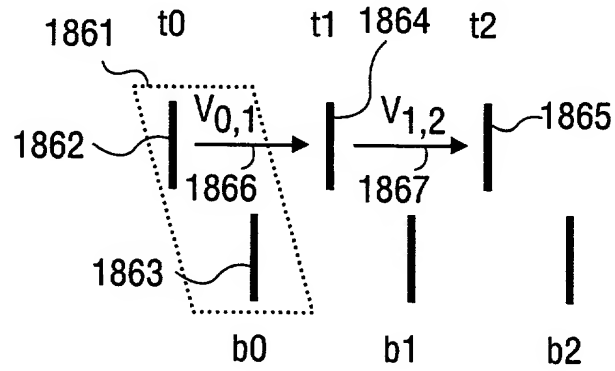


FIG. 18B

1870

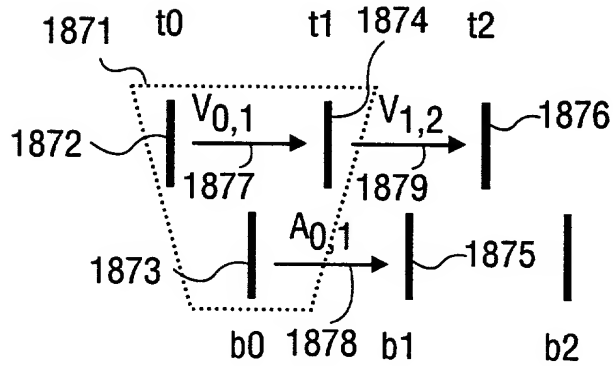
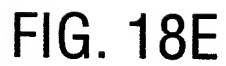
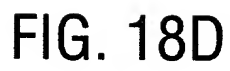


FIG. 18C



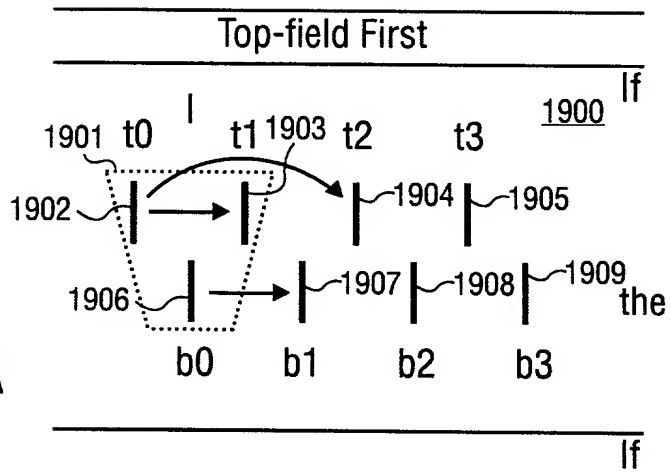


FIG. 19A

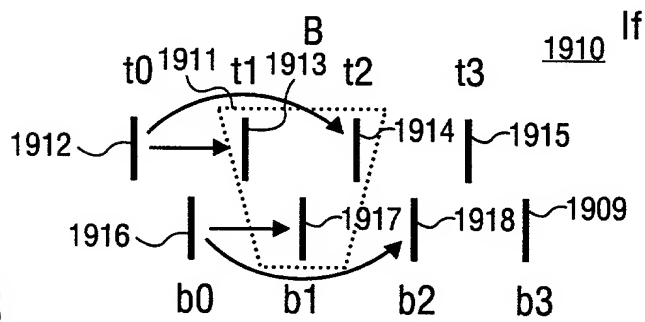


FIG. 19B

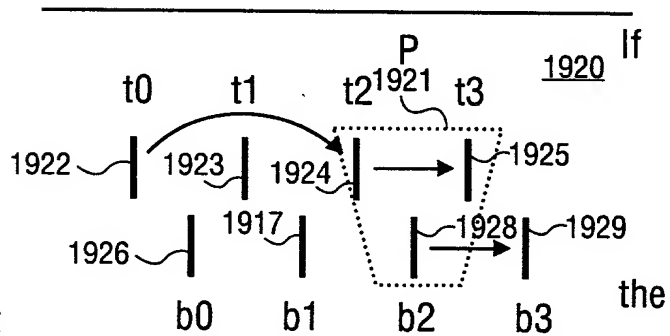


FIG. 19C

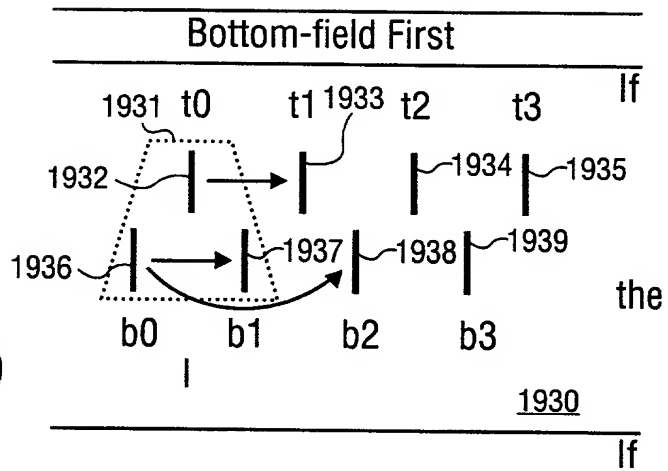


FIG. 19D

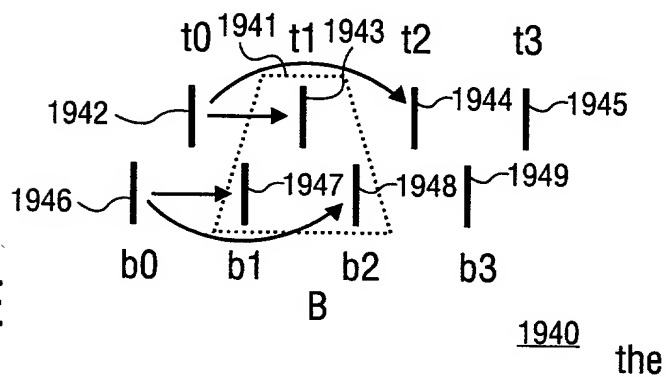


FIG. 19E

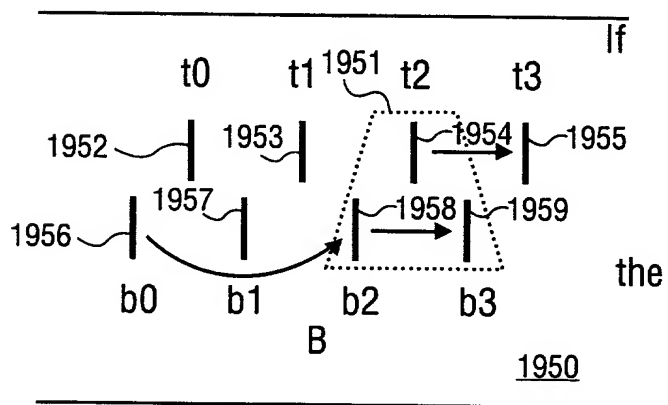
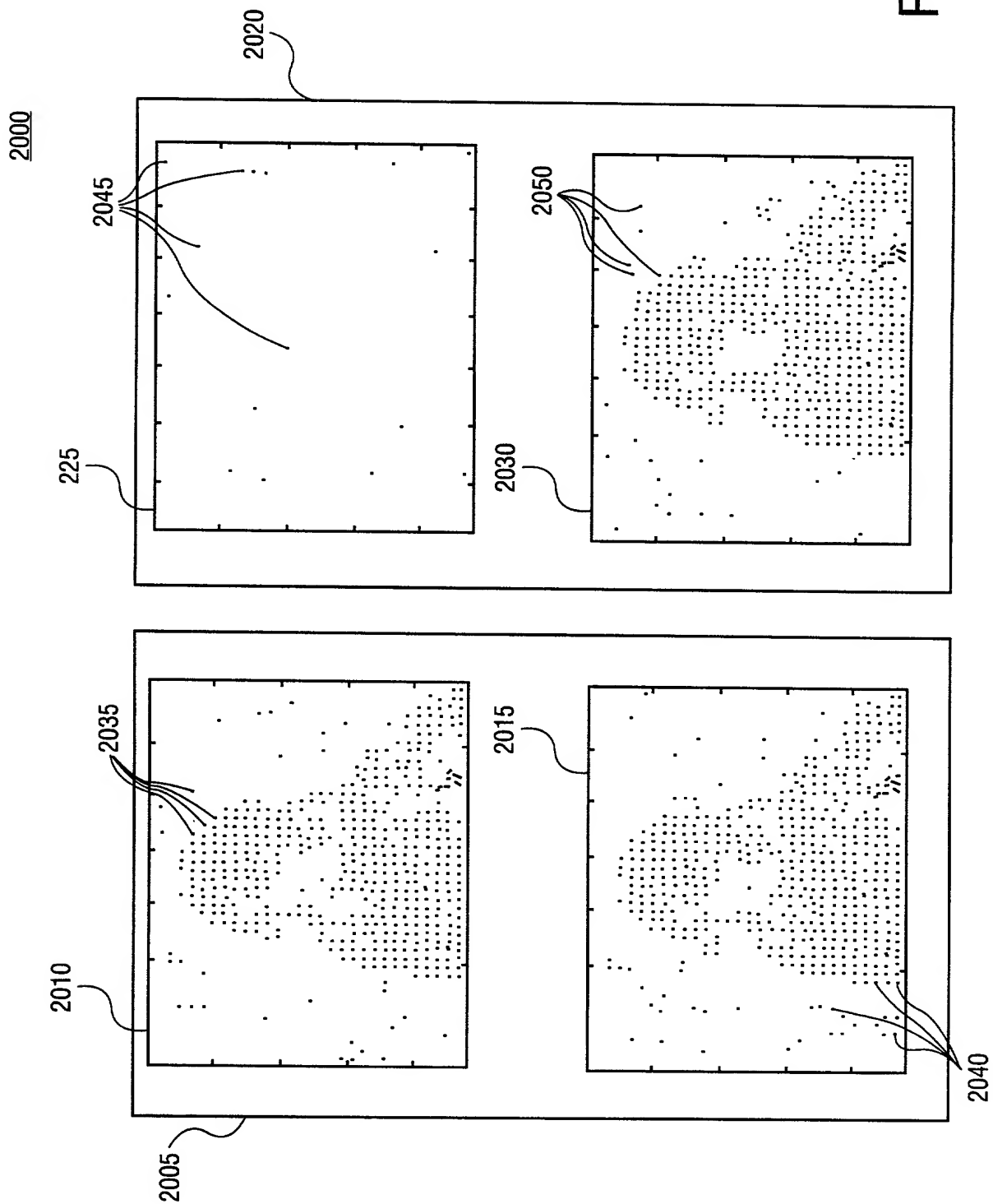


FIG. 19F



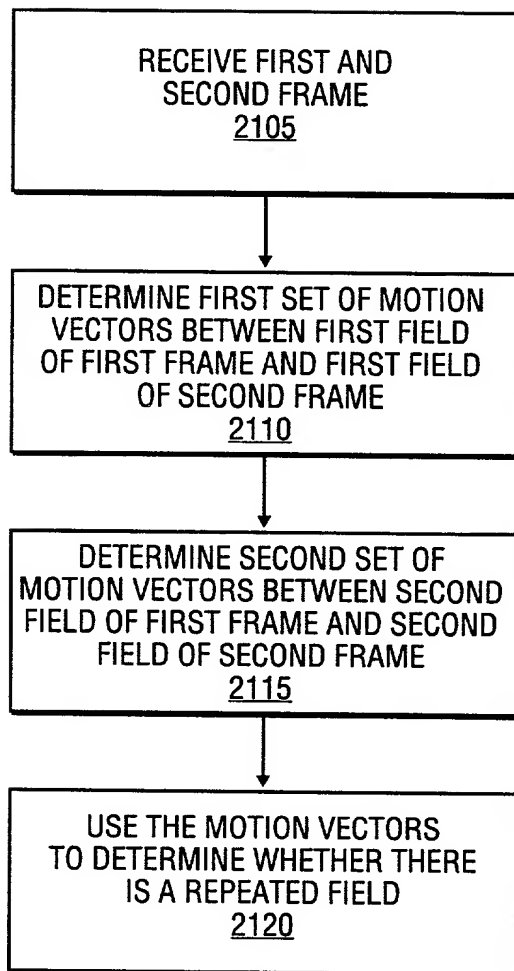


FIG. 21



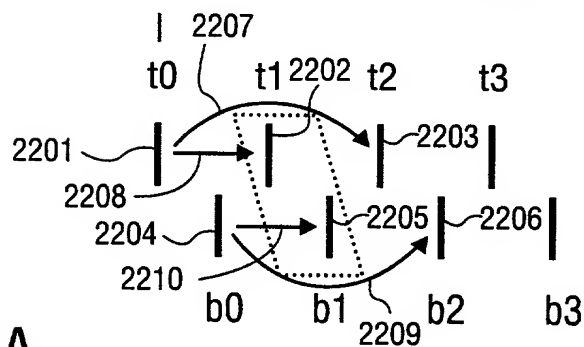
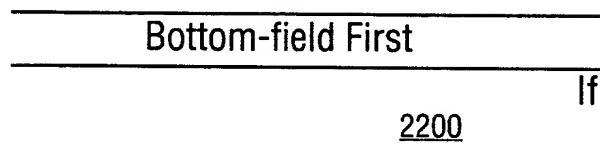


FIG. 22A

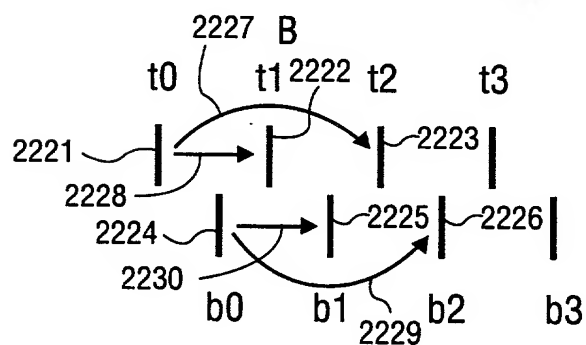


FIG. 22B

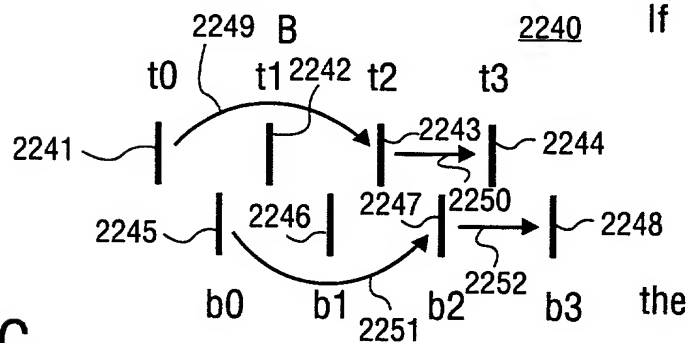


FIG. 22C

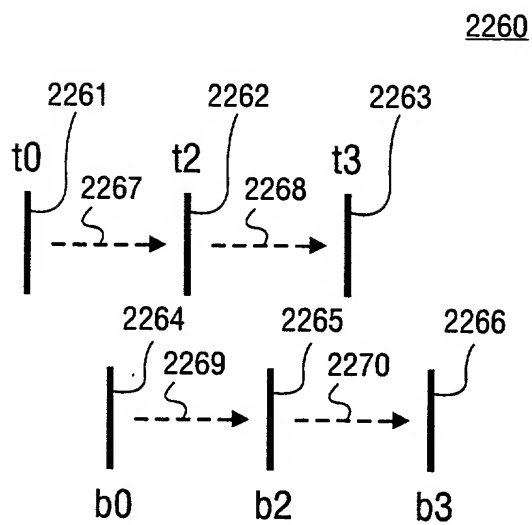


FIG. 22D

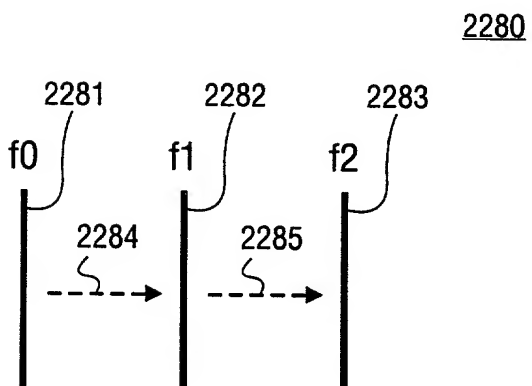


FIG. 22E

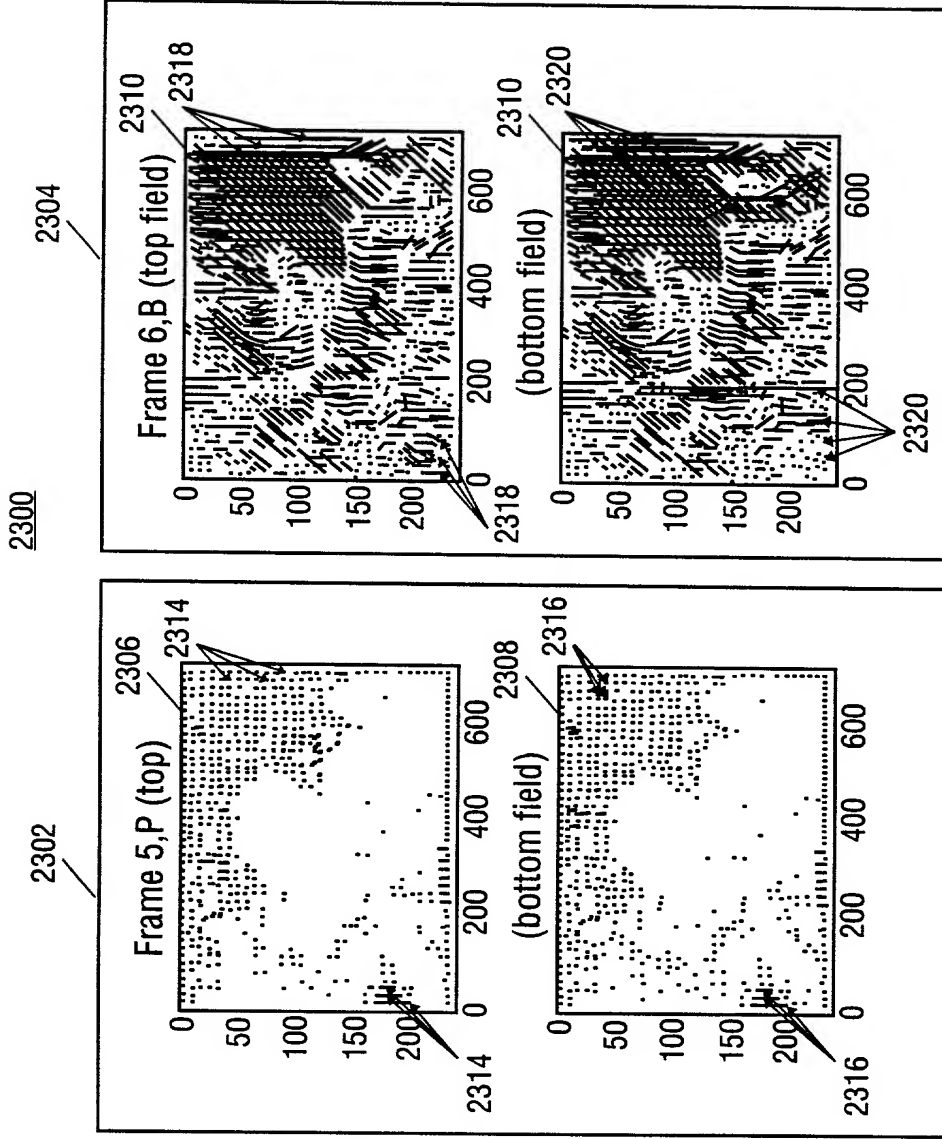


FIG. 23

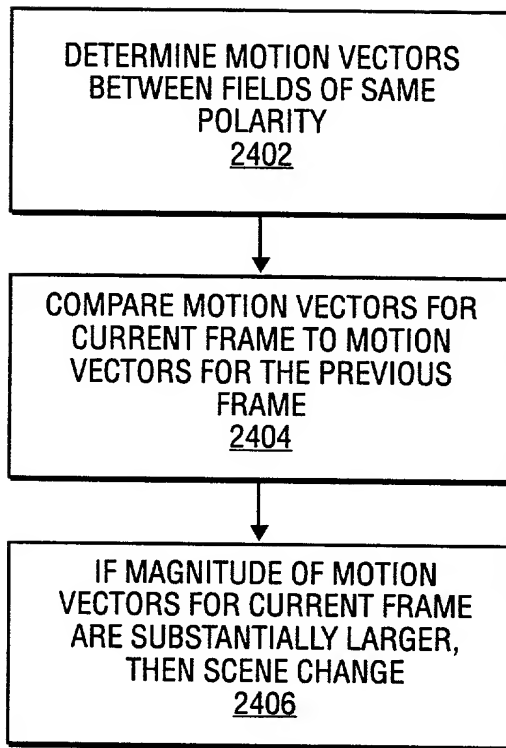


FIG. 24